

Αριστοτέλειο Πανεπιστήμιο Θεσσαλονίκης
Τμήμα Ηλεκτρολόγων Μηχανικών και Μηχανικών Υπολογιστών
Τομέας Τηλεπικοινωνιών



Παλάσκος Αχιλλέας (8493)

ΔΙΠΛΩΜΑΤΙΚΗ ΕΡΓΑΣΙΑ

Μετάδοση Η/Μ κύματος στο υλικό διασποράς Ra_{icu}

Επιβλέπων Καθηγητής: Ιωάννης Ρέκανος

Θεσσαλονίκη, Ιούνιος 2021

ΕΙΣΑΓΩΓΗ

- ✓ Διηλεκτρικά υλικά διασποράς → σχετική ηλεκτρική διαπερατότητα (ϵ_r) → εξάρτηση από τη ΣΥΧΝΟΤΗΤΑ
- ✓ Ιατρική, Βιοιατρική → ακριβής αναπαράσταση των ιστών του ανθρώπινου σώματος
- ✓ **Debye** → μη ικανοποιητική προσέγγιση
- ✓ **Davidson-Cole** και **Cole-Cole** → ακριβής προσέγγιση σε μεγάλο εύρος συχνοτήτων
- ✓ **Havriliak-Negami** → συνδυασμός των 2 προηγούμενων , μεγαλύτερη ευελιξία
- ✓ **RAICU** → Valerică Raicu (1999) → η γενικότερη μορφή των παραπάνω μοντέλων → τη μεγαλύτερη ευελιξία

RAICU

$$\epsilon_R(\omega) = \epsilon_\infty + \frac{\epsilon_S - \epsilon_\infty}{((j\omega\tau_R)^\alpha + (j\omega\tau_R)^\gamma)^\beta}$$

- $0 \leq \alpha, \beta, \gamma \leq 1$
- $\Delta\epsilon = \epsilon_S - \epsilon_\infty$
- $\epsilon(\omega) \rightarrow \epsilon_\infty$ για $\omega \rightarrow \infty$
- $\epsilon(\omega) \rightarrow \epsilon_S$ για $\omega \rightarrow 0$



| | |
|--|--|
| Debye ($\alpha = 1, \beta = \gamma = 1$) | $\epsilon_D(\omega) = \epsilon_\infty + \frac{\epsilon_S - \epsilon_\infty}{1 + j\omega\tau}$ |
| Cole – Cole ($\alpha = 0, \beta = 1$) | $\epsilon_{CC}(\omega) = \epsilon_\infty + \frac{\epsilon_S - \epsilon_\infty}{1 + (j\omega\tau_{CC})^\gamma}$ |
| Davidson – Cole ($\alpha = 0, \gamma = 1$) | $\epsilon_{DC}(\omega) = \epsilon_\infty + \frac{\epsilon_S - \epsilon_\infty}{(1 + j\omega\tau_{DC})^\beta}$ |
| Havriliak – Negami ($\alpha = 0$) | $\epsilon_{HN}(\omega) = \epsilon_\infty + \frac{\epsilon_S - \epsilon_\infty}{(1 + (j\omega\tau_{HN})^\gamma)^\beta}$ |

ΔΥΣΚΟΛΙΕΣ – ΜΕΘΟΔΟΛΟΓΙΑ ΕΠΙΛΥΣΗΣ ΤΟΥ ΠΡΟΒΛΗΜΑΤΟΣ

✓ Δυσκολίες:

οι ΜΗ-ακέραιες δυνάμεις του όρου $j\omega$



ολοκληρο-διαφορικές εξισώσεις στο πεδίο του χρόνου

✓ ΒΗΜΑΤΑ επίλυσης προβλήματος

1. Εύρεση χρονικής απόκρισης $\rightarrow \varepsilon_r(t)$
 - a) αναλυτική λύση \rightarrow **θεωρητική** υλοποίηση του αντίστροφου μετ/μού Fourier της $\varepsilon_r(\omega)$
 - b) προσεγγιστική λύση \rightarrow μέθοδος **FILT** (**F**ast **I**nverse **L**aplace **T**ransform) στην $\varepsilon_r(s)$
2. Προσέγγιση χρονικής απόκρισης με άθροισμα αποσβενύμενων εκθετικών \rightarrow μέθοδος **Prony** \rightarrow εξαγωγή παραμέτρων
3. Ενσωμάτωση παραμέτρων και τροποποίηση των εξισώσεων του Maxwell \rightarrow επίλυση προβλήματος – 1D \rightarrow μέθοδος **FDTD** (**F**inite **D**iscrete **T**ime **D**omain)
4. Κριτήριο ορθότητας αποτελεσμάτων \rightarrow μέτρο του συντελεστή ανάκλασης

ΥΠΟΛΟΓΙΣΜΟΣ ΧΡΟΝΙΚΗΣ ΑΠΟΚΡΙΣΗΣ - ΜΕΘΟΔΟΣ Α: Εύρεση αναλυτικής λύσης

$$\varepsilon(\omega) = \varepsilon_{\infty} + \Delta\varepsilon F(\omega) \quad \text{με} \quad F(\omega) = \frac{1}{((j\omega\tau)^{\alpha} + (j\omega\tau)^{\gamma})^{\beta}} \quad \text{και} \quad \Delta\varepsilon = \varepsilon_s - \varepsilon_{\infty}$$

Θεωρούμε: $\gamma > \alpha \xrightarrow{\gamma, \alpha < 1} 0 < \gamma - \alpha < 1$

$$\begin{aligned} \mathbf{F}(\omega) &= \frac{1}{(j\omega\tau)^{\alpha\beta}} \boxed{\frac{1}{(1 + (j\omega\tau)^{\gamma-\alpha})^{\beta}}} = \frac{1}{(j\omega\tau)^{\alpha\beta}} \boxed{\sum_{n=0}^{\infty} \binom{-\beta}{n} ((j\omega\tau)^{\gamma-\alpha})^{-\beta-n}} = \dots = \frac{1}{\tau^{\beta\gamma}} \sum_{n=0}^{\infty} \binom{-\beta}{n} \frac{1}{\tau^{n(\gamma-\alpha)}} \boxed{\frac{1}{(j\omega)^{n(\gamma-\alpha)+\beta\gamma}}} \\ \downarrow \end{aligned}$$

$$\mathbf{f}(t) = \mathcal{F}^{-1}\{F(\omega)\} = \frac{1}{\tau^{\beta\gamma}} \sum_{n=0}^{\infty} \binom{-\beta}{n} \frac{1}{\tau^{n(\gamma-\alpha)}} \boxed{\frac{t^{n(\gamma-\alpha)+\beta\gamma-1}}{\Gamma[n(\gamma-\alpha) + \beta\gamma]}} u(t) = \dots =$$

$$= \frac{1}{\tau} \left(\frac{t}{\tau}\right)^{\beta\gamma-1} \sum_{n=0}^{\infty} \frac{\Gamma(\beta+n)}{n! \Gamma(\beta)} \frac{\left(-\left(\frac{t}{\tau}\right)^{\gamma-\alpha}\right)^n}{\Gamma[n(\gamma-\alpha) + \beta\gamma]} u(t) \Leftrightarrow \boxed{f(t) = \frac{1}{\tau} \left(\frac{t}{\tau}\right)^{\beta\gamma-1} \mathbf{E}_{\gamma-\alpha, \beta\gamma}^{\beta} \left[-\left(\frac{t}{\tau}\right)^{\gamma-\alpha}\right] u(t)}$$

όπου:

$$\mathbf{E}_{\alpha, \beta}^{\gamma}(z) = \sum_{n=0}^{\infty} \frac{\Gamma(\gamma+n)}{n! \Gamma(\gamma) \Gamma(\alpha n + \beta)} z^n \quad \rightarrow \text{Συνάρτηση } \mathbf{Mittag-Leffler} \text{ τριών παραμέτρων}$$

ΥΠΟΛΟΓΙΣΜΟΣ ΧΡΟΝΙΚΗΣ ΑΠΟΚΡΙΣΗΣ - ΜΕΘΟΔΟΣ Β: Η μέθοδος FILT (Fast Inverse Laplace Transform)

Βήμα 1^ο: Προσέγγιση ολοκληρώματος Bromwich

$$F(s) = \frac{1}{((s\tau)^\alpha + (s\tau)^\gamma)^\beta} \quad \begin{cases} s \in \mathbb{C}, \operatorname{Re}(s) > 0 \\ 0 \leq \alpha, \beta, \gamma \leq 1 \end{cases}$$

Για $f(t) > 0$: $f(t) = \mathcal{L}^{-1}\{F(s)\} \triangleq \frac{1}{2\pi j} \lim_{\varphi \rightarrow \infty} \int_{\gamma - j\varphi}^{\gamma + j\varphi} F(s) e^{st} ds$

- υπολογισμός ολοκληρώματος Bromwich → δύσκολος
- Η **βασική ιδέα** FILT → προσέγγιση του εκθετικού e^{st} → εισαγωγή παραμέτρου α (1^η σχεδιαστική παράμετρος του FILT)

$$E_{est}(st, \alpha) \triangleq \frac{e^\alpha}{2 \cosh(\alpha - st)} = \frac{e^\alpha}{2} \sum_{n=-\infty}^{\infty} \frac{j(-1)^n}{st - \alpha + j(n - 0.5)\pi} = \frac{e^\alpha}{2t} \sum_{n=-\infty}^{\infty} \frac{j(-1)^n}{s - \lambda_n(\alpha, t)}$$

$$\lambda_n(\alpha, t) = \frac{\alpha}{t} + j \frac{n - 0.5}{t} \pi$$

Συνθήκες - $F(s)$:

1. η $F(s)$ δεν έχει ανώμαλα σημεία
2. $|s| \rightarrow \infty \Rightarrow |F(s)| \rightarrow 0$
3. $F^*(s) = F(s^*)$, όπου z^* ο συζυγής του z

όπου: $\gamma \in \mathbb{R}$ τέτοιο ώστε η διαδρομή του περιγράμματος του ολοκληρώματος να βρίσκεται εντός της περιοχής σύγκλισης της $F(s)$.

$$\begin{aligned}
f_{est}(t, \alpha) &\triangleq \frac{1}{2\pi j} \lim_{\varphi \rightarrow \infty} \int_{\gamma-j\varphi}^{\gamma+j\varphi} F(s) \mathbf{E}_{est}(st, \alpha) ds = \frac{1}{2\pi j} \lim_{\varphi \rightarrow \infty} \int_{\gamma-j\varphi}^{\gamma+j\varphi} F(s) \left[\frac{e^\alpha}{2t} \sum_{n=-\infty}^{\infty} \frac{j(-1)^n}{s - \lambda_n(\alpha, t)} \right] ds \\
&= \frac{e^\alpha}{2t} \sum_{n=-\infty}^{\infty} j(-1)^n \frac{1}{2\pi j} \lim_{\varphi \rightarrow \infty} \int_{\gamma-j\varphi}^{\gamma+j\varphi} \frac{F(s)}{s - \lambda_n(\alpha, t)} = \frac{e^\alpha}{2t} \sum_{n=-\infty}^{\infty} j(-1)^n I_n(\alpha, t)
\end{aligned}$$

όπου:

$$I_n(\alpha, t) = \frac{1}{2\pi j} \lim_{\varphi \rightarrow \infty} \int_{\gamma-j\varphi}^{\gamma+j\varphi} \frac{F(s)}{s - \lambda_n(\alpha, t)}$$

Θεώρημα ολοκληρωτικών υπολοίπων \Rightarrow Θεώρημα για τον υπολογισμό του ολοκληρώματος Bromwich

$$\Rightarrow I_n(\alpha, t) = -F(\lambda_n(\alpha, t))$$

Αντικατάσταση στην παραπάνω σχέση:

$$f_{est}(t, \alpha) = \frac{e^\alpha}{2t} \sum_{n=-\infty}^{\infty} (-j)(-1)^n F(\lambda_n(\alpha, t)) \Leftrightarrow \dots \Leftrightarrow$$

$$f_{est}(t, \alpha) = \frac{e^\alpha}{t} \sum_{n=1}^{\infty} F_n$$

όπου:

$$\mathbf{F}_n = (-1)^n \mathbf{Im}\{F(\lambda_n(\alpha, t))\} = (-1)^n \mathbf{Im}\left\{F\left[\frac{\alpha + j(n - 0.5)\pi}{t}\right]\right\} = (-1)^n \alpha_n$$

Βήμα 2^ο: Χρήση του μετασχηματισμού Euler

Ορισμός (Μετασχηματισμός Euler)

Έστω η ακολουθία $\alpha_n, n \in [0, +\infty)$, τότε:

$$\sum_{n=0}^{\infty} (-1)^n \alpha_n \triangleq \sum_{n=0}^{\infty} (-1)^n \frac{1}{2^{n+1}} \sum_{k=0}^n \binom{n}{k} (-1)^k \alpha_{n-k}$$

Εισαγωγή 2^{ης} σχεδιαστικής παραμέτρου K της μεθόδου FILT \Rightarrow προσέγγιση το απειρο-αθροίσματος:

$$\sum_{n=1}^{\infty} F_n = \sum_{n=1}^K F_n + \boxed{\sum_{n=K+1}^{\infty} (-1)^n \alpha_n} = \sum_{n=1}^K F_n + \mathbf{A}$$

Εφαρμογή μετασχηματισμού Euler $\Rightarrow \mathbf{A} = \sum_{n=K+1}^{\infty} (-1)^n \alpha_n = \dots = \sum_{n=0}^{\infty} \frac{1}{2^{n+1}} \sum_{k=0}^n \binom{n}{k} F_{(n-k)+K+1}$

Εισαγωγή 3^{ης} σχεδιαστικής παραμέτρου p της μεθόδου FILT $\Rightarrow n \in [0, p-1] \Rightarrow$ προσέγγιση το απειρο-αθροίσματος με άθροισμα $p - \acute{\omicron}$ ρων :

$$\mathbf{A} = \sum_{n=0}^{\infty} \frac{1}{2^{n+1}} \sum_{k=0}^n \binom{n}{k} F_{(n-k)+K+1} \cong \sum_{n=0}^{p-1} \frac{1}{2^{n+1}} \sum_{k=0}^n \binom{n}{k} F_{(n-k)+K+1} \Leftrightarrow \dots \Leftrightarrow$$

$$\mathbf{A} = 2^{-p} \sum_{q=1}^p \mathbf{A}_{p,q} F_{q+K}$$

όπου:

$$\mathbf{A}_{p,q} = \sum_{m=q-1}^{p-1} \binom{m}{m-(q-1)} 2^{(p-1)-m} \qquad q = 1, 2, \dots, p \qquad \mathbf{A}_{p,p} = 1$$

Αποδεικνύεται ότι:

$$A_{p,p-q} = A_{p,p-q+1} + B_{p,q} \quad q = 1, 2, \dots, p-1$$

όπου:

$$B_{p,q} = \binom{p-1}{p-(q+1)} + \binom{p-1}{p-q} \xrightarrow{\text{recursive}} B_{p,q} = \frac{p-q+1}{q} B_{p,q-1} \quad q = 2, \dots, p-1 \quad B_{p,1} = p$$

Αποτέλεσμα FILT: Έστω η μιγαδική συνάρτηση $F(s)$, $s \in \mathbb{C}$, $\text{Re}(s) > 0$, που ικανοποιεί τις 3 συνθήκες που έχουν αναφερθεί παραπάνω. Τότε, ο αντίστροφος μετασχηματισμός Laplace δίνεται από την παρακάτω σχέση:

$$f_{est}^{\alpha,K,p}(t) = \mathcal{L}^{-1}\{\varepsilon_\infty + \Delta\varepsilon F(s)\} = \mathcal{L}^{-1}\{\varepsilon_\infty\} + \Delta\varepsilon \mathcal{L}^{-1}\{F(s)\} = \varepsilon_\infty \delta(t) + \Delta\varepsilon \frac{e^\alpha}{t} \left\{ \sum_{n=1}^K F_n + 2^{-p} \sum_{q=1}^p A_{p,q} F_{q+K} \right\} u(t)$$

όπου:

- $\alpha, K, p \rightarrow$ οι σχεδιαστικές παράμετροι της μεθόδου
- $F_n = (-1)^n \mathcal{Im} \left\{ F \left[\frac{\alpha + j(n-0.5)\pi}{t} \right] \right\}$

και οι συντελεστές $A_{p,q}$ υπολογίζονται αναδρομικά με βάση τις παρακάτω σχέσεις:

- $A_{p,p-q} = A_{p,p-q+1} + B_{p,q} \quad q = 1, 2, \dots, p-1$
- $B_{p,q} = C_{p,q} B_{p,q-1} \quad q = 2, \dots, p-1$
- $A_{p,p} = 1 \quad B_{p,1} = p \quad C_{p,q} = \frac{p-q+1}{q}$

ΑΠΟΤΕΛΕΣΜΑΤΑ – ΔΙΑΓΡΑΜΜΑΤΑ FILT

| <i>Medium</i> | <i>p</i> | <i>τ(ps)</i> | <i>a</i> | <i>β</i> | <i>γ</i> |
|--------------------|----------|--------------|----------|----------|----------|
| Debye | 5 | 153 | 0 | 1 | 1 |
| Cole – Cole | 6 | 153 | 0 | 1 | 0.8 |
| Davidson – Cole | 7 | 153 | 0 | 0.9 | 1 |
| Havriliak – Negami | 8 | 153 | 0 | 0.9 | 0.8 |
| Raicu 1 | 8 | 153 | 0.1 | 0.9 | 0.8 |
| Raicu 2 | 8 | 153 | 0.35 | 0.9 | 0.8 |
| Raicu 3 | 8 | 153 | 0.6 | 0.9 | 0.8 |
| Raicu 4 | 8 | 153 | 0.9 | 0.9 | 0.8 |

Μέθοδος FILT

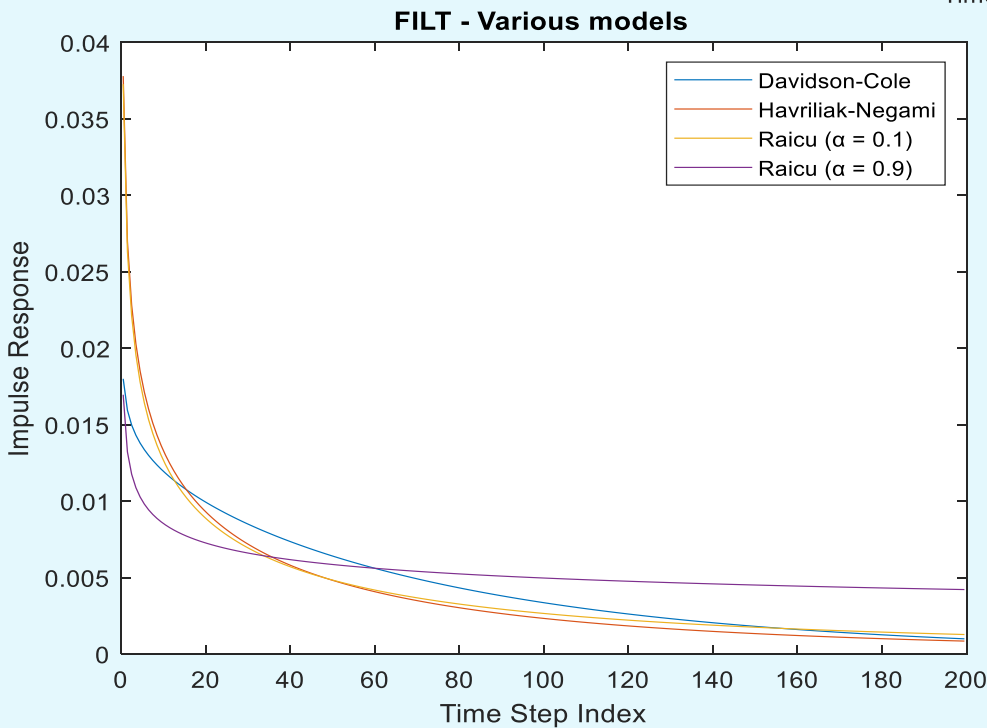
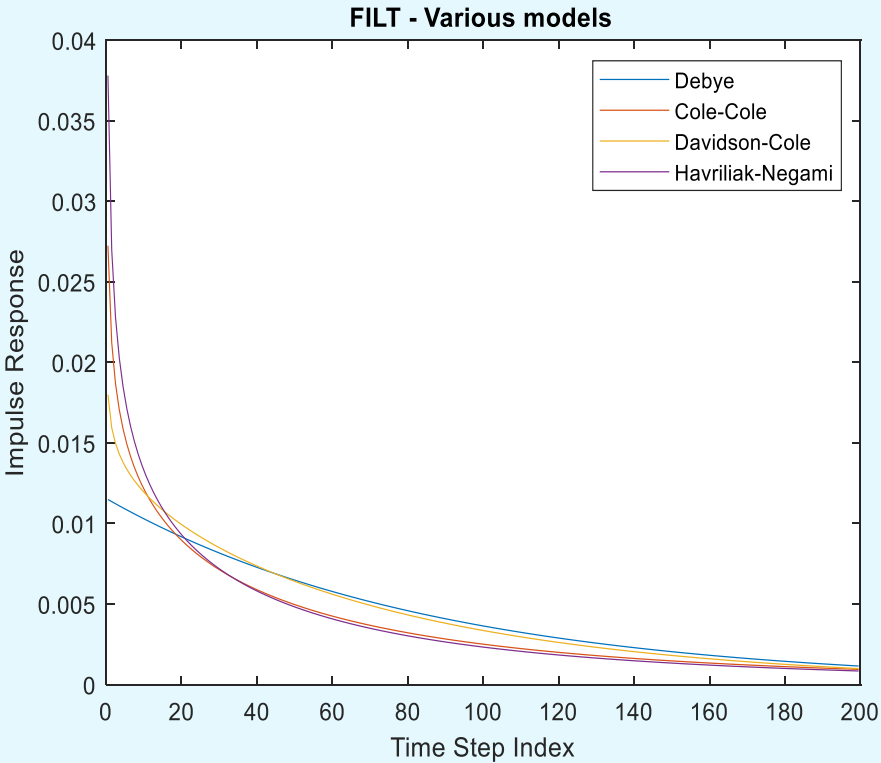
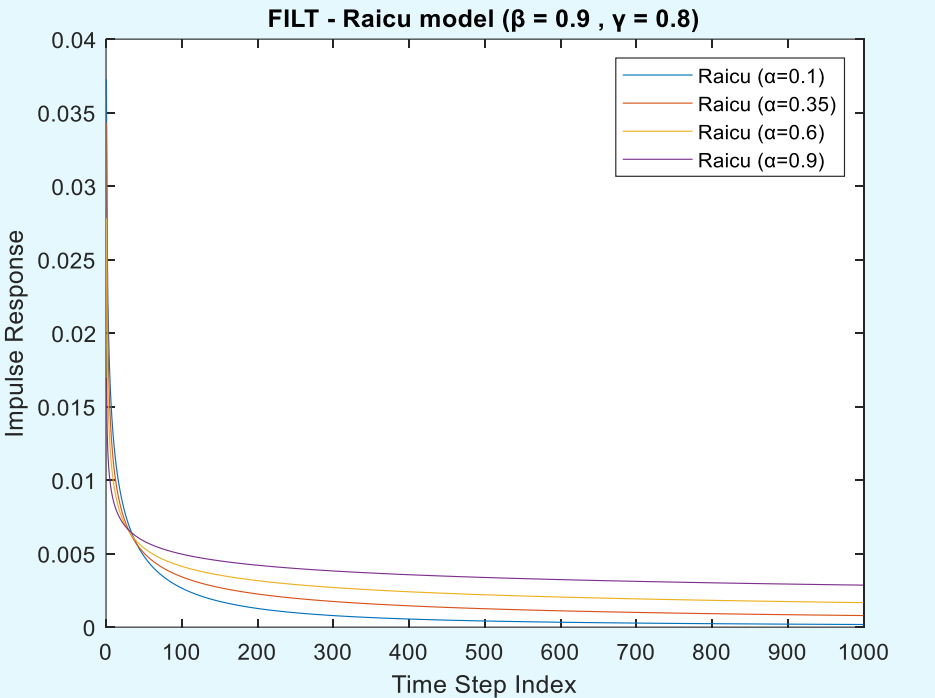
➤ $\Delta t = 1.768ps$

➤ $N_t = 50000$

➤ $n = \frac{t}{\Delta t} = 0.5, \dots, N_t + 0.5$

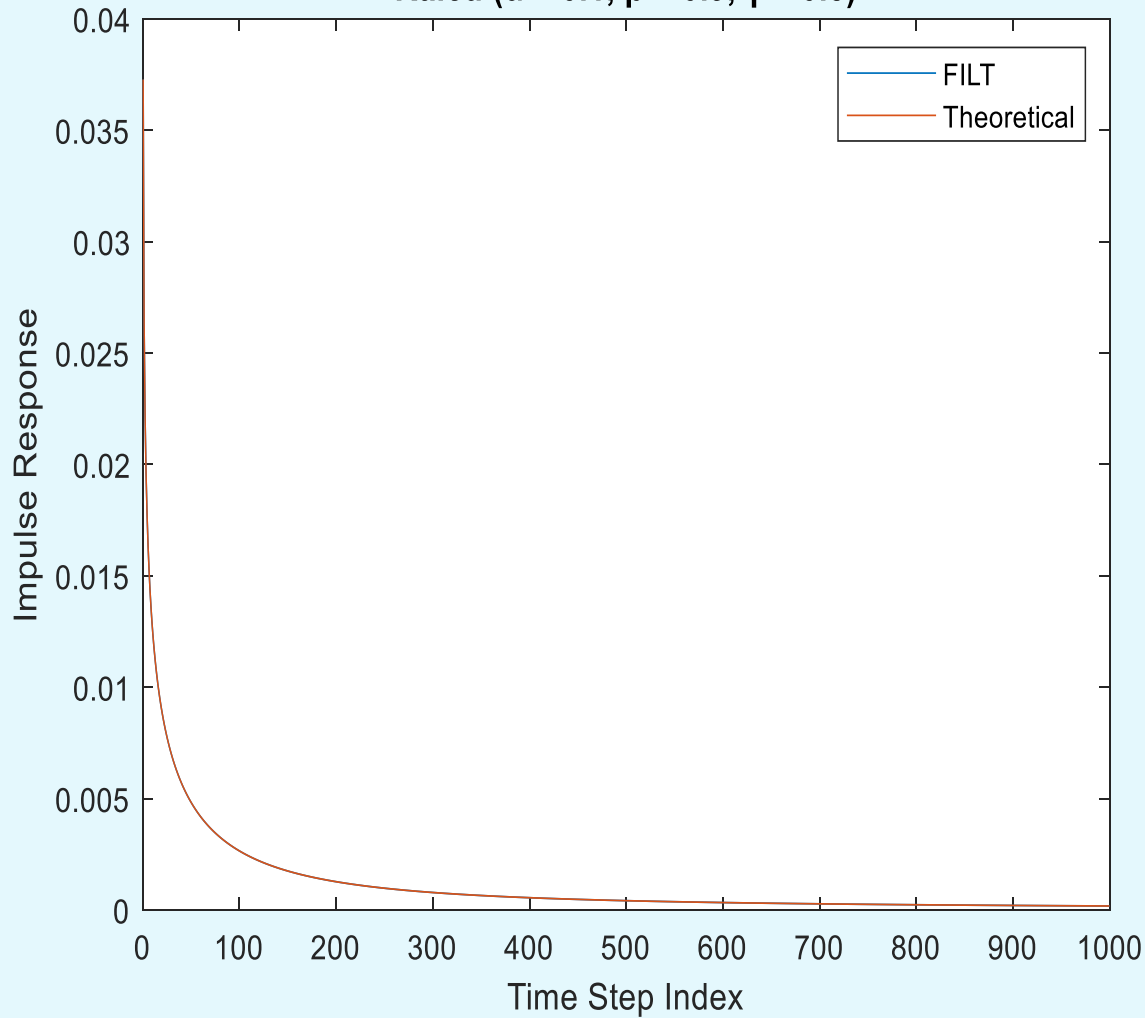
➤ $K = 21$

➤ $a_{FILT} = 5$



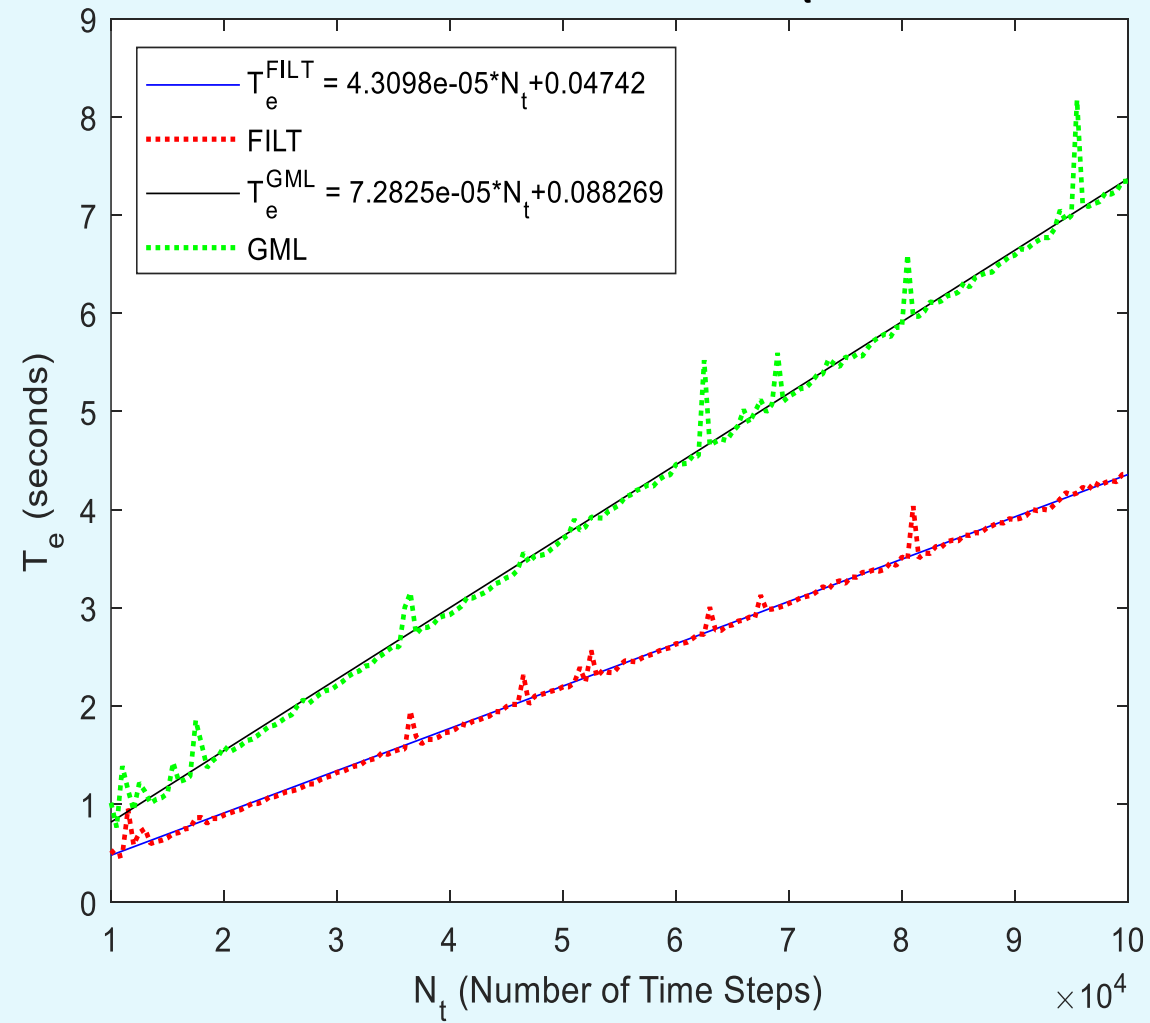
ΣΥΓΚΡΙΣΗ ΜΕΘΟΔΩΝ Α και Β

Raicu ($\alpha = 0.1, \beta = 0.9, \gamma = 0.8$)



↓
ακρίβεια της τάξης του 10^{-7} !

Execution Time vs N_t



↓
FILT πιο ΓΡΗΓΟΡΗ!

ΠΡΟΣΕΓΓΙΣΗ ΧΡΟΝΙΚΗΣ ΑΠΟΚΡΙΣΗΣ

Πρόβλημα: Δεδομένης φθίνουσας συνάρτησης $f(t)$, η οποία ανήκει στην κατηγορία των «Πλήρως Μονότονων Συναρτήσεων» να προσδιοριστούν οι μεταβλητές:

- $M \in \mathbb{N}^* \rightarrow$ οι σχεδιαστικές παράμετροι της μεθόδου
- $w_m, v_m \in \mathbb{R}_+ \quad \forall m = 1, \dots, M$

ώστε:
$$f(t) = \sum_{m=1}^M w_m e^{-v_m t} \quad t > 0$$

«κλειδί» επιλυσιμότητας προβλήματος
↓
 $f(t)$: Πλήρως Μονότονη Συνάρτηση

Ορισμός (Πλήρως Μονότονες Συναρτήσεις):
Μία συνάρτηση $f: (0, +\infty) \rightarrow \mathbb{R}$ ονομάζεται Πλήρως Μονότονη στο $(0, +\infty)$, αν υπάρχουν όλες οι παράγωγοι της f και ισχύει: $(-1)^k f^{(k)}(t) \geq 0 \quad \forall k \in \mathbb{N}$ και $t > 0$.

$$g(t) = \sum_{q=1}^p w_m e^{-v_m t} \quad t > 0$$
 Πλήρως Μονότονη
Συνάρτηση

Επίλυση \rightarrow μέθοδος **Prony!** $\xrightarrow{\text{δειγματοληψία}} t_k = k\Delta t \quad k = 0, 1, \dots, N_t \quad (N_t \gg M) \rightarrow f_k = f(t_k) = f(t)|_{t=t_k}$

ΒΗΜΑ 1: προσδιορισμός των συντελεστών Prony (p)

$$A\tilde{p} = b \xrightarrow{LMS} \tilde{p} = A^\dagger b \quad \mu\epsilon \quad A^\dagger = (A^T A)^{-1} A^T \rightarrow p = [\tilde{p}^T p_0] , p_0 = 1$$

$$A = \underbrace{\begin{bmatrix} f_M & f_{M-1} & \cdots & f_1 \\ f_{M+1} & f_M & \cdots & f_2 \\ \vdots & \vdots & \ddots & \vdots \\ f_{N_t} & f_{N_t-1} & \cdots & f_{N_t-M+1} \end{bmatrix}}_{(N_t-M+1) \times M}$$

$$\tilde{p} = \underbrace{\begin{bmatrix} p_M \\ p_{M-1} \\ \vdots \\ p_1 \end{bmatrix}}_{M \times 1} \quad b = - \underbrace{\begin{bmatrix} f_0 \\ f_1 \\ \vdots \\ f_{N_t-M} \end{bmatrix}}_{(N_t-M+1) \times 1}$$

ΒΗΜΑ 2: προσδιορισμός των εκθετικών συντελεστών Prony (v_m)

Εξίσωση M-βαθμού ως προς x : $p_M x^M + p_{M-1} x^{M-1} + \dots + p_1 x + p_0 = 0 \rightarrow v_m = -\frac{\ln(x_m)}{\Delta t} \quad m = 1, \dots, M$

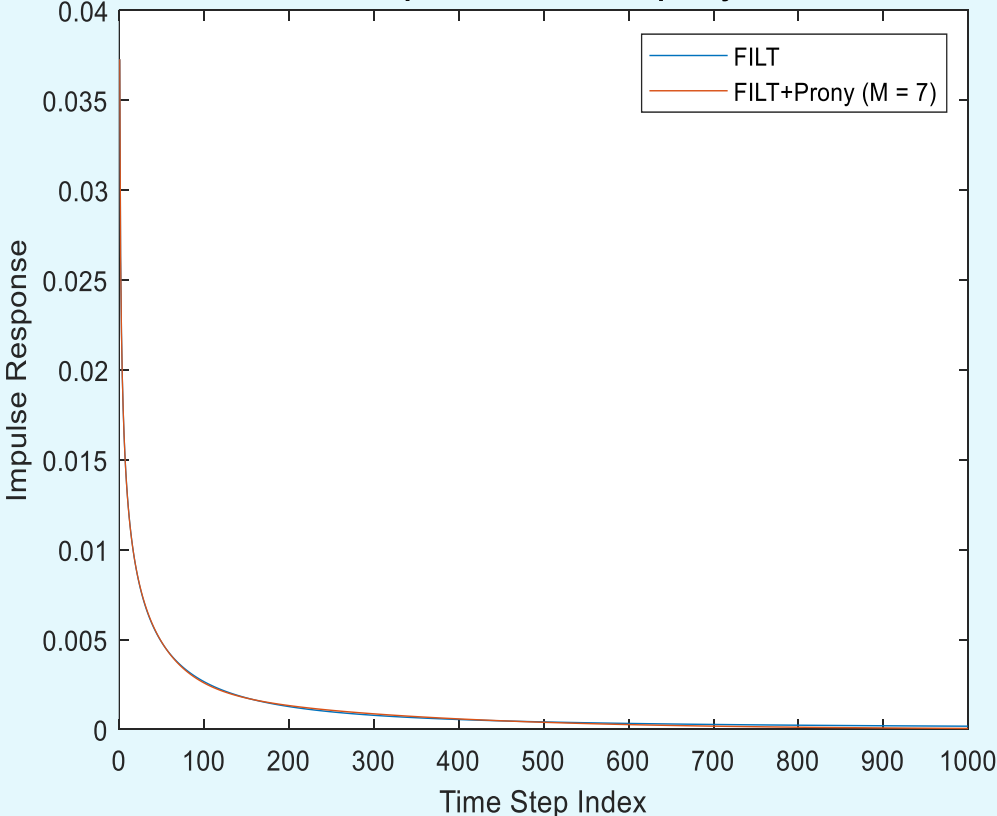
ΒΗΜΑ 3: προσδιορισμός συντελεστών “βάρους” (w_m)

$$Xw = f \xRightarrow{LMS} w = X^\dagger f$$

με $X^\dagger = (X^T X)^{-1} X^T$

$$X = \underbrace{\begin{bmatrix} 1 & 1 & \dots & 1 \\ x_1^1 & x_2^1 & \dots & x_M^1 \\ \vdots & \vdots & \ddots & \vdots \\ x_1^{N_t} & x_2^{N_t} & \dots & x_M^{N_t} \end{bmatrix}}_{(N_t+1) \times M} \quad w = \underbrace{\begin{bmatrix} w_1 \\ w_2 \\ \vdots \\ w_M \end{bmatrix}}_{M \times 1} \quad f = - \underbrace{\begin{bmatrix} f_0 \\ f_1 \\ \vdots \\ f_{N_t} \end{bmatrix}}_{(N_t+1) \times 1}$$

Raicu ($\alpha = 0.1$, $\beta = 0.9$, $\gamma = 0.8$)
Number of points included in prony: 50001



| | W | X |
|---|----------|---------|
| 1 | 0.002777 | 0.99610 |
| 2 | 0.009010 | 0.97463 |
| 3 | 0.006813 | 0.89879 |
| 4 | 0.008353 | 0.73185 |
| 5 | 0.001880 | 0.48307 |
| 6 | 0.007451 | 0.21699 |
| 7 | 0.000993 | 0.03276 |

→ ακρίβεια της τάξης του 10^{-4}

ΥΛΟΠΟΙΗΣΗ ΤΗΣ ΜΕΘΟΔΟΥ FDTD

Κανονικοποιημένες εξισώσεις στροφής του Maxwell:

$$\begin{aligned}\frac{\partial \tilde{\mathbf{D}}}{\partial t} &= \frac{1}{\sqrt{\epsilon_0 \mu_0}} \nabla \times \tilde{\mathbf{H}} \\ \tilde{\mathbf{D}} &= \epsilon_r(t) * \tilde{\mathbf{E}} \\ \frac{\partial \tilde{\mathbf{H}}}{\partial t} &= -\frac{1}{\sqrt{\epsilon_0 \mu_0}} \nabla \times \tilde{\mathbf{E}}\end{aligned}$$

κανονικοποιημένα χρονικά διανύσματα $\rightarrow \tilde{\mathbf{E}} = \sqrt{\frac{\epsilon_0}{\mu_0}} \mathbf{E} \quad , \quad \tilde{\mathbf{D}} = \sqrt{\frac{1}{\epsilon_0 \mu_0}} \mathbf{D} \quad , \quad \tilde{\mathbf{H}} = \mathbf{H}$

FILT + PRONY \rightarrow

Χρονική απόκριση

$$\epsilon_r(\mathbf{t}) = \epsilon_\infty \delta(t) + \Delta\epsilon \sum_{i=1}^M \hat{w}_i e^{-v_i t}$$

$$\tilde{\mathbf{D}}(t) = \left\{ \epsilon_\infty \delta(t) + \Delta\epsilon \sum_{i=1}^M \hat{w}_i e^{-v_i t} \right\} * \tilde{\mathbf{E}}(t) = \dots = \epsilon_\infty \tilde{\mathbf{E}}(t) + \Delta\epsilon \mathbf{S}(t) \quad \text{όπου: } \mathbf{S}(t) \triangleq \tilde{\mathbf{E}}(t) * \sum_{i=1}^M \hat{w}_i e^{-v_i t}$$

$$\mathbf{S}^n = \dots = \sum_{i=1}^M \mathbf{A}_i^n$$

όπου για:
$$\begin{cases} w_i = \hat{w}_i \Delta t \\ x_i = e^{-v_i \Delta t} \end{cases}$$

$$\mathbf{A}_i^{n+1} = x_i \mathbf{A}_i^n + w_i \tilde{\mathbf{E}}^n \quad i = 1, 2, \dots, M$$

Επίσης:

$$\tilde{\mathbf{D}}^{n+1} - \tilde{\mathbf{D}}^n = \dots = \left(\varepsilon_\infty + \Delta\varepsilon \sum_{i=1}^M w_i \right) \tilde{\mathbf{E}}^{n+1} - \varepsilon_\infty \tilde{\mathbf{E}}^n + \Delta\varepsilon \sum_{i=1}^M (x_i - 1) \mathbf{A}_i^n$$

1^η εξίσωση Maxwell \rightarrow διακριτοποίηση $\rightarrow \frac{\tilde{\mathbf{D}}^{n+1} - \tilde{\mathbf{D}}^n}{\Delta t} = \nabla \times \tilde{\mathbf{H}} \Big|^{n+1/2} \Leftrightarrow \dots \Leftrightarrow$

$$\tilde{\mathbf{E}}^{n+1} = \frac{1}{L} \left\{ \varepsilon_\infty \tilde{\mathbf{E}}^n + \Delta\varepsilon \sum_{i=1}^M (1 - x_i) \mathbf{A}_i^n + c_0 \Delta t \nabla \times \tilde{\mathbf{H}} \Big|^{n+1/2} \right\}, \quad L = \varepsilon_\infty + \Delta\varepsilon \sum_{i=1}^M w_i$$

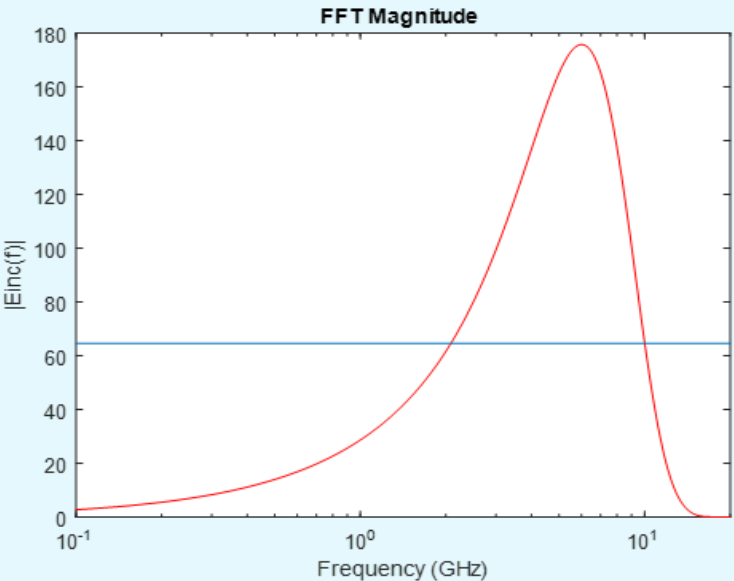
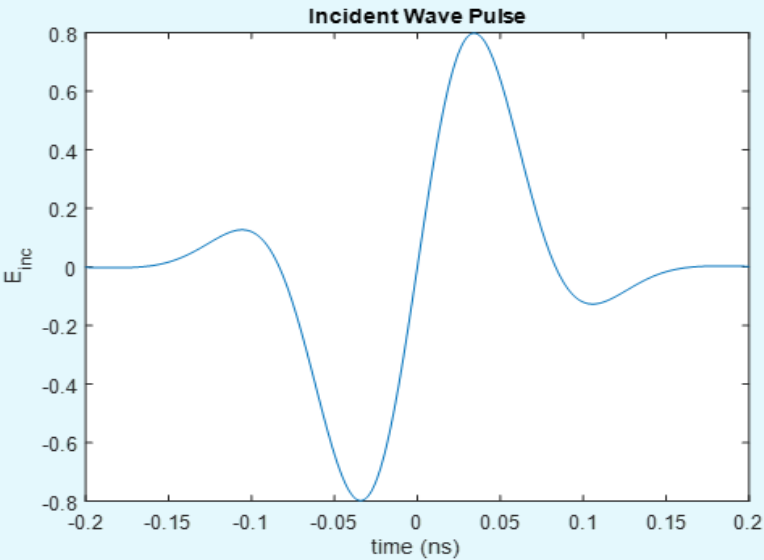
3^η εξίσωση Maxwell \rightarrow διακριτοποίηση \rightarrow

$$\tilde{\mathbf{H}}^{n+1/2} = \tilde{\mathbf{H}}^{n-1/2} - c_0 \Delta t \nabla \times \tilde{\mathbf{E}} \Big|^n$$

ΣΥΝΑΡΤΗΣΗ ΠΡΟΣΠΙΠΤΟΝΤΟΣ ΚΥΜΑΤΟΣ

$$\tilde{E}_{inc}(t) = e^{-a^2(t-4/a)^2} \sin[2\pi f_e(t - 4/a)] u(t) \hat{x}$$

$$a = 1.26 \times 10^{10} \text{ sec}^{-1} \quad f_e = 6 \text{ GHz}$$



ΑΝΑΛΥΣΗ ΕΥΣΤΑΘΕΙΑΣ

Μέθοδος Von Neumann $\rightarrow \mathcal{E}_{q+1}^n = \mathcal{E}_q^n e^{jk\Delta z}$ και $\mathcal{H}_{q-1/2}^{n+1/2} = \mathcal{H}_{q+1/2}^{n+1/2} e^{-jk\Delta z}$

$$\begin{bmatrix} \mathcal{E}_q^{n+1} \\ \mathcal{H}_{q+1/2}^{n+1/2} \end{bmatrix} = \underbrace{\begin{bmatrix} c'_{ee} + c_{eh}c_{he} & c_{eh} \\ c_{he} & 1 \end{bmatrix}}_{[C]} \begin{bmatrix} \mathcal{E}_q^n \\ \mathcal{H}_{q+1/2}^{n-1/2} \end{bmatrix} + \begin{bmatrix} c_e \\ 0 \end{bmatrix}$$

$$|C - \zeta I| = 0 \Leftrightarrow \dots \Leftrightarrow^{\zeta < 1} f(\zeta) = \frac{L(\zeta - c'_{ee})(1 - \zeta)}{4\zeta} \leq \left(\frac{c_0\Delta t}{\Delta z}\right)^2$$

Όπου: $c'_{ee} = \frac{1}{L} \left\{ \varepsilon_\infty + \Delta\varepsilon \sum_{i=1}^M w_i(1 - x_i) \right\} \xrightarrow{RAICU} c'_{ee} = 0.667$

Αποδεικνύεται ότι: $\forall \zeta \in (0.667, 1) \rightarrow \text{ΕΥΣΤΑΘΕΣ}$, όταν:

$$\Delta z < \frac{c_0\Delta t}{\max_{\zeta \in (0.667, 1)} \{\sqrt{f(\zeta)}\}}, \quad \max_{\zeta \in (0.667, 1)} \{\sqrt{f(\zeta)}\} = 0.1788$$

Επιλογή: $\begin{cases} \Delta t_{FDTD} = \Delta t_{FILT} = 1.768 \text{ ps} \\ \frac{c_0\Delta t}{\Delta z} = 0.5 \Leftrightarrow \Delta z = 1.1 \text{ mm} \end{cases}$

ΜΟΝΟΔΙΑΣΤΑΤΟ ΠΡΟΒΛΗΜΑ: εξισώσεις – τελικός αλγόριθμος

Θεωρούμε: $\tilde{E} = \tilde{E}_x \hat{x}$ και $\tilde{H} = \tilde{H}_y \hat{y}$ Συμβολισμός: $\tilde{E}_x^n(q) \equiv \mathcal{E}_q^n$ και $\tilde{H}_y^n(q) \equiv \mathcal{H}_q^n$

FDTD – Algorithm – dispersive medium

- 1) Set: Q (number of space cells) and N (number of time steps)
- 2) Set: $\Delta t_{FDTD} = \Delta t_{FILT} = 1.768 \text{ ps}$ and $\Delta z = 1.1 \text{ mm}$
- 3) Read parameters: $M, \mathbf{w}^{M \times 1}, \mathbf{x}^{M \times 1} \rightarrow$ derived from Prony
- 4) Initialization: $\mathcal{E}^{1 \times Q}, \mathcal{H}^{1 \times Q}, \mathcal{A}^{M \times Q}$
- 5) $L = \varepsilon_\infty + \Delta \varepsilon \sum_{i=1}^M w_i$
- 6) START LOOP

a. Update \mathcal{H}

$$\mathcal{H}_{q+1/2}^{n+1/2} = \mathcal{H}_{q+1/2}^{n-1/2} - \frac{c_0 \Delta t}{\Delta z} (\mathcal{E}_{q+1}^n - \mathcal{E}_q^n)$$

b. Update \mathcal{E}

$$\mathcal{E}_q^{n+1} = \frac{\varepsilon_\infty}{L} \mathcal{E}_q^n + \frac{\Delta \varepsilon}{L} \sum_{i=1}^M (1 - x_i) \mathcal{A}_{q,i}^n - \frac{c_0 \Delta t}{L \Delta z} (\mathcal{H}_{q+1/2}^{n+1/2} - \mathcal{H}_{q-1/2}^{n+1/2})$$

c. Calculate incident wave

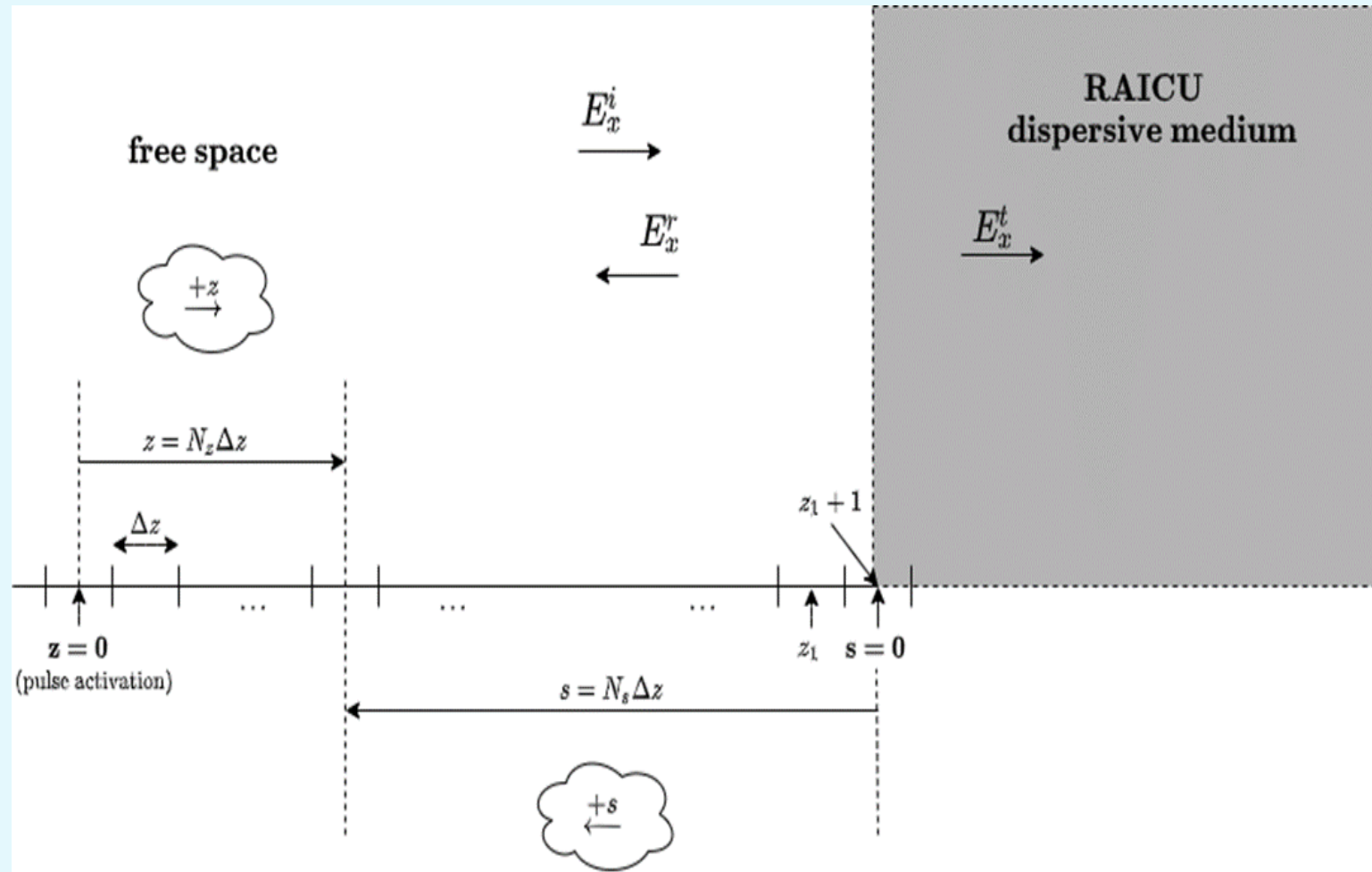
$$\mathcal{E}_{q=q_{inc}}^{n+1} = e^{-a^2(n\Delta t - 4/a)^2} \sin[2\pi f_e(n\Delta t - 4/a)] u[n] \hat{x}$$

d. Update \mathcal{A}

$$\mathcal{A}_{q,i}^{n+1} = x_i \mathcal{A}_{q,i}^n + w_i \mathcal{E}_q^{n+1} \quad i = 1, \dots, M$$

END LOOP

ΣΥΝΤΕΛΕΣΤΗΣ ΑΝΑΚΛΑΣΗΣ

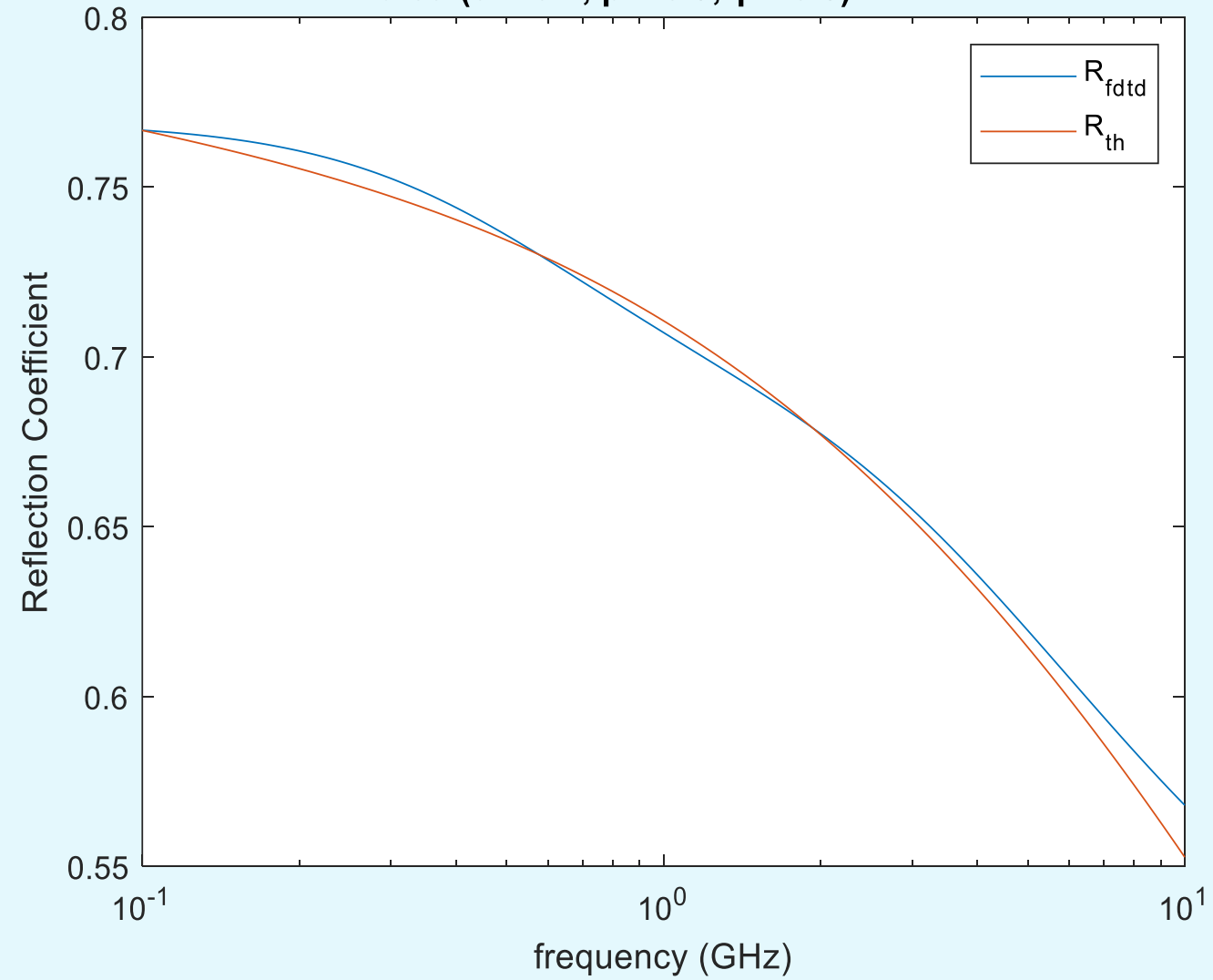


ΔΙΑΔΙΚΑΣΙΑ

1. Ελεύθερος χώρος $\rightarrow \tilde{E}_x^i(z_1, t)$
2. Πρόσπτωση στο υλικό RAICU \rightarrow

$$\tilde{E}_x^{tot}(z_1, t) = \tilde{E}_x^r(z_1, t) + \tilde{E}_x^i(z_1, t)$$
3. $\tilde{E}_x^r(z_1, t) = \tilde{E}_x^{tot}(z_1, t) - \tilde{E}_x^i(z_1, t)$
4. $\tilde{E}_x^i(z_1, \omega) = \mathcal{F}\{\tilde{E}_x^i(z_1, t)\}$
5. $\tilde{E}_x^r(z_1, \omega) = \mathcal{F}\{\tilde{E}_x^r(z_1, t)\}$
6. $\Gamma_{f dtd}(s, \omega) = \frac{\mathcal{F}\{\tilde{E}_x^r(z_1, t)\}}{\mathcal{F}\{\tilde{E}_x^i(z_1, t)\}} e^{-j 2 \frac{\omega}{c_0} N_s \Delta z}$
7. $|\Gamma_{f dtd}(\omega)| = \frac{\mathcal{F}\{\tilde{E}_x^r(z_1, t)\}}{\mathcal{F}\{\tilde{E}_x^i(z_1, t)\}}$
8. $\Gamma_{th}(\omega) = \frac{|1 - \sqrt{\epsilon_r(\omega)}|}{|1 + \sqrt{\epsilon_r(\omega)}|}$

Raicu ($\alpha = 0.1$, $\beta = 0.9$, $\gamma = 0.8$) - $M = 7$



ΕΥΧΑΡΙΣΤΩ